甘蓝型油菜温敏 GMS TE5A 幼蕾酵母 双杂交 cDNA 文库的构建及筛选

李可琪^{1,2},王莎莎¹,曾新华¹,闫晓红¹,吴 刚^{1*}

(1. 中国农业科学院油料作物研究所,农业部油料作物生物学与遗传育种重点实验室,湖北 武汉,430062; 2. 中国农业科学院研究生院,北京,100081)

摘要:为进一步解析甘蓝型油菜温敏细胞核雄性不育系(GMS)TE5A的不育机理,筛选与育性蛋白 BnaA. tsMs 互作的重要蛋白。提取不育系 TE5A 的幼蕾(直径≤2mm)总 RNA,利用 SMART (switching mechanism at 5' end of the RNA transcript)技术构建酵母双杂交 cDNA 文库和诱饵载体 pGBKT7 - BnaA. tsMs,转化酵母菌株 Y2H gold, 检 测其毒性和自激活活性,通过 Mating 方法筛选与蛋白 BnaA. tsMs 互作的蛋白,并根据基因注释推测其功能。结果 成功地构建了甘蓝型油菜温敏细胞核雄性不育系 TE5A 幼蕾酵母双杂交 cDNA 文库, 文库库容量为 $2 \times 10^7 cfu$, 重 组率达到 100%, 插入片段平均长度大于 1.8kb。发现诱饵载体 pGBKT7 - BnaA. tsMs 对酵母没有毒性,没有自激活 活性。筛选出49个候选互作蛋白,其中有丝分裂纺锤体检测点蛋白(BUBR1)、周期蛋白 D3(cyclin - D3)和 F - box 蛋白(FBW2)三个互作蛋白可能与该不育蛋白相互作用,共同调控该不育系 TE5A 的育性。

关键词:甘蓝型油菜;温敏细胞核雄性不育;酵母双杂交 cDNA 文库;BnaA. tsMs;互作蛋白 文章编号:1007-9084(2016)03-0292-08 中图分类号:S565.403 文献标识码:A

Construction and screening of yeast two - hybrid cDNA library of flower bud from a dominant thermo - sensitive genic male sterile line TE5A in Brassica napus

LI Ke - qi^{1,2}, WANG Sha - sha¹, ZENG Xin - hua¹, YAN Xiao - hong¹, WU Gang^{1*}

- (1. Oil Crops Research Institute, Key Laboratory of Biology and Genetic Improvement of Oil Crops, the Ministry of Agriculture, Wuhan 430062, China;
 - 2. Graduate School of Chinese Academy of Agricultural Sciences, Beijing 100081, China)

Abstract: To reveal sterility mechanism of a dominant thermo – sensitive genic male sterile line TE5A in Brassica napus, host proteins interacting with BnaA. tsMs protein were screened. Sterile flower buds (diameter ≤2mm) RNA from TE5A were sampled. Yeast two - hybrid (Y2H) cDNA library was constructed by SMART technique. Bait vector of pGKBT7 - BnaA. tsMs was constructed and transformed into Y2H gold. Results showed that Y2H cD-NA library of flower bud from TE5A was successfully constructed. The library capacity was about 2×10^7 cfu. The average cDNA length were more than 1.8 kb with a recombination frequency of 100%. Bait vector of pGKBT7 -BnaA. tsMs was constructed. The plasmid had no virulence and self - activity to yeast. 49 interactive factors were obtained. Among them, 3 interactive proteins (BUBR1, cyclin - D3 and FBW2) were especially found interacting with BnaA. tsMs, which might regulate the fertility of TE5A.

Key words: Brassica napus; Thermo - sensitive genic male sterility; Yeast two - hybrid cDNA library; BnaA. tsMs: Interacting protein

优势利用最为成功的作物之一[1]。细胞核雄性不 油菜是我国主要油料作物之一,同时也是杂种

收稿日期:2015-12-22

基金项目:湖北省自然科学基金(2014CFB320)

作者简介: 李可琪(1990 -), 女, 硕士研究生, 从事油菜细胞核雄性不育的机理研究, E - mail; likeqi1218@ sina. com

^{*} 通讯作者:吴 刚(1976 –),男,博士,研究员,从事转基因安全检测和基因工程研究,E – mail;wugang@ caas. cn

育系因为恢复源广、易获得强优势杂交组合已成为杂种优势利用的重要途径^[2]。甘蓝型油菜温敏细胞核雄性不育系 TE5A 是本课题组从甘蓝型油菜品系 TE5 中发现的一种温敏细胞核雄性不育突变类型^[3]。TE5A 的细胞学观察显示其花粉母细胞停留在减数分裂时期,没有形成二分体及四分体,从而不能产生花粉粒,研究表明其育性受一对显性基因 BnaA. tsMs^[3]控制,目前本课题组已经定位并克隆了该基因(文章待发表)。本研究拟通过构建甘蓝型油菜温敏细胞核雄性不育系 TE5A 的幼蕾酵母双杂交 cDNA 文库,采用酵母双杂交系统筛选与育性蛋白 BnaA. tsMs 互作的蛋白,从而为解析该材料的不育机理奠定基础。

目前,已经报道的甘蓝型油菜细胞核雄性不育 材料包括: S45A^[4]、9012A^[5]、宜 3A^[6]、K121S^[7]、 373S^[8]、Huiyou50S^[9]和 TE5A^[3]等。Yi 等将甘蓝型 油菜隐性核不育 S45A 的恢复基因 BnMs1 精细定位 到 0.1 cM 和 0.3 cM 的范围,并认为该基因可能参 与绒毡层代谢途径[10,11]。Lei 等[12] 将甘蓝型油菜 隐性核不育 S45A 的恢复基因 BnMs2 定位到 0.038 和 0.075cM 范围内,并进一步分析证明 BnMs2 和 BnMs1 是重叠基因,其生物学功能相同。Huang 等 在开发与甘蓝型油菜隐性核不育两型系 9012AB 中 BnMs3 紧密连锁的分子标记的基础上,将 BnMs3 锁 定在遗传距离在 0.4cM 的范围内[13,14]。 He 等利用 与 BnMs3 连锁的分子标记序列信息与拟南芥的共 线性关系,将 BnMs3 锁定到左右两侧各 0.07cM 的 遗传距离内[15]。Dun 等利用 IP 标记和染色体登陆 的方法最终克隆了 BnMs3 基因[16,17], Zhou 等通过 差减 cDNA 文库筛选,最终发现该基因编码 Tic40 蛋白,主要调控绒毡层的发育[18]。虽然近年来对影 响油菜细胞核雄性不育基因及其恢复基因进行了大 量研究,但国内外对油菜细胞核雄性不育分子机理 的研究仍比较薄弱,其作用机理及编码蛋白的功能 仍不清晰。酵母双杂交技术是检测蛋白质互作的有 效方法,也是应用最为广泛、获得蛋白互作数据最多 的方法之一^[19]。酵母双杂交 cDNA 文库是通过酵 母双杂交技术来筛选未知蛋白和检测蛋白之间相互 作用的前提和保障^[20]。Fujii^[21]和 Ronnberg^[22]等通 过此方法分别筛选出与水稻不育恢复基因 RF2 相 互作用的 RIF2 蛋白和与小鼠 NSs 蛋白相互作用的 ACBD3 蛋白。Singh 等[23] 通过该方法构建了与水 稻促分裂原活化蛋白激酶(MAPK)相互作用的蛋白 调控网络。

该不育材料 TE5A 为功能获得型突变,并且其

不育时期发生在减数分裂时期,因此选取该材料的不育幼蕾来构建酵母双杂交 cDNA 文库,筛选与BnaA. tsMs 互作的蛋白,为进一步解析其不育机理尊定基础。

1 材料与方法

1.1 材料

甘蓝型油菜温敏显性细胞核雄性不育系 TE5A 种植于光照 16h、温度 22℃ 的温室内,在抽臺开花期,环境温度高于 20℃ 时表现为完全不育,随机选取 5 株处于减数分裂旺盛时期的幼蕾(直径 ≤ 2mm)混合后,立即放入液氮中速冻后于超低温冰箱保存,用于总 RNA 提取。

Qiagen RNeasy Micro kit 和 QIAquick PCR Purification Kit 均购自上海玉博生物技术有限公司;SMAR-T™ cDNA Library Construction Kit、酵母菌株 Y2H gold、Y187 及载体 pGADT7、pGBKT7、pGBKT7 - 53、pGADT7 - T 等均购自 CLONTECH 公司; NucleoBond Xtra Maxi EF 购自 MN 公司; RNase - free DNase I、T4 DNA 连接酶、SfiI 内切酶、蛋白酶 K、DNA Marker、酵母培养所用培养基等常用试剂均购自宝生物工程有限公司。引物由上海生工生物技术有限公司合成。

1.2 TE5A 不育系幼蕾初级 cDNA 文库的构建

1.2.1 RNA 的提取 称取 1g 幼蕾放在液氮预冷 过的研钵中研磨,用 Qiagen RNeasy Micro kit 试剂盒 提取总 RNA。之后用 NanoDrop2000 微量分光光度 计估算 RNA 的浓度和纯度(A₂₆₀/A₂₈₀和 A₂₆₀/A₂₃₀ 值),并用1%琼脂糖凝胶电泳检测RNA的完整性。 1.2.2 双链 cDNA 的合成 按照 SMART™ cDNA Library Construction Kit 说明书进行操作,取 1μg RNA 为模板,引物 SMART™ Oligonucleotide:5′-AAGCAGTGGTATCAACGCAGAGTGGCCATTACGGC-CGGG - 3'和 CDS III/3'PCR Primer: 5' - ATTCTA-GAGGCCGAGGCGGCCGACATG - d(T)₃₀N - 1N - 3' (N = A, G, C, 或 T; N - 1 = A, G 或 C)各 $1\mu L$, 合成 cDNA 第一条链。再以 cDNA 第一条链为模板,以 5' PCR Primer: 5' - AAGCAGTGGTATCAACG-CAGAGT - 3'和 CDS III/3'PCR Primer 为引物进行 LD-PCR,合成cDNA 第二条链。接着通过CHRO-MA SPIN-400 层析柱纯化双链 cDNA 并去除小于 400bp 的片段,最后用1% 琼脂糖凝胶电泳检测纯化 前后双链 cDNA 质量。

1.2.3 pGADT7 载体的改造 为了将双链 cDNA 连接到载体 pGADT7 上,对载体 pGADT7 多克隆位 点处的序列进行了改造,在不改变原载体读码框的

前提下,将原 SfiI 酶切位点改造为 SfiI A 和 SfiI B 两个酶切位点[24]。

1.2.4 初始 cDNA 文库的构建、扩增及质量鉴定 取 4μL pGADT7、4μL cDNA、1μL 10 × Buffer 和 1μL T4 DNA 连接酶,混匀后 16℃连接过夜。将连接产物在 1.8kV,200Ω 的条件下电击转化大肠杆菌 DH5α感受态细胞后加入 1mL LB 培养基,放在37℃恒温摇床振荡培养 1h,即得到初始 cDNA 文库。取上述培养液 1μL 分别稀释 10、100、1 000 和 10 000 倍,测算文库滴度。对 cDNA 初始文库进行扩增后,用 NucleoBond Xtra Maxi EF 试剂盒抽提质 粒,用 1% 琼脂糖凝胶电泳检测其质量。

1.3 TE5A 不育系幼蕾 Y187 酵母双杂交 cDNA 文 库构建及质量鉴定

通过 PEG/LiAc 化学转化法转化酵母 Y187 菌株。取 15μg 上述文库重组质粒和 600μL Y187 感受态细胞混匀后,于 30℃水浴 30min 后,42℃热激 25min。然后 3 000r/min 离心 5min 除上清,重悬细胞于 800μL YPDA 液体培养基中,培养 2h。然后取培养液 1μL分别稀释 10、100、1 000 和 10 000 倍,涂布在 SD/-Leu 平板上,并对平板单克隆计数,测算文库滴度。从平板上随机挑取 16 个分离良好的单菌落进行培养,并对这些单菌落进行菌落 PCR 鉴定,所用引物为:pGADT7-F(5′-GGAGTACCCATACGACGTACC-3′)和 pGADT7-R(5′-TATCTACGATTCATCTGCAGC-3′)。用 1% 琼脂糖凝胶电泳检测 PCR 产物,统计文库插入片段的大小和重组率,分析文库的多态性。

文库重组率(%)=(有插入片段的反应个数/ 总挑选菌落数)×100。

1.4 诱饵蛋白载体构建及蛋白表达检测

首先把基因 BnaA. tsMs 通过双酶切位点 EcoRI 和 PstI 构建到 pGBKT7 载体中,所用引物为:上游引物 F: TACGAATTCATGAGTAATTCTGCGCCTGGAGGT 和下游引物 R: TTACTGCAGTTACTCAGAGTCGGGCACAAGCTGA。然后通过 PEG/LiAc 化学转化法转化酵母菌株 Y2H gold。为了检测诱饵蛋白是否在宿主酵母菌中表达,用玻璃珠破碎酵母细胞,提取酵母蛋白,用 Western Blot 方法对提取的表达蛋白进行检测,一抗为 c - Myc 单克隆抗体,通过化学发光检测诱饵蛋白的表达。

1.5 诱饵蛋白毒性及自激活活性检测

1.5.1 诱饵蛋白毒性检测 把空载体 pGBKT7 转 人 Y2H gold,分别挑取一个直径 2~3mm 的诱饵酵 母单菌落及空载体酵母单菌落接种于含有 50mL SD/-Trp 液体培养基的锥形瓶中,30℃培养 5、10、15、20、25、30h 后,用紫外分光光度计测定 OD₆₀₀值,分析 pGBKT7 - BnaA. tsMs 对酵母菌生长的影响。 1.5.2 诱饵蛋白自激活活性检测 将含有 pG-BKT7 - BnaA. tsMs 重组质粒的酵母菌株 Y2H gold 涂布到 SD/-Trp/x- α -gal/AbA(SDO/x/A)平板,30℃倒置培养 3~5d,观察平板菌落生长情况,分析 pGBKT7 - BnaA. tsMs 对酵母是否具有自激活活性。同时采用 Mating 方法设置自激活实验的阴性对照和阳性对照,Y2H gold [pGBKT7 - Lam] × Y187 [pGADT7 - T]为阴性对照组,Y2H gold [pG-BKT7 - p53] × Y187 [pGADT7 - T]为阳性对照组。

1.6 酵母文库筛选

1.6.1 文库 mating 筛选 用 Mating 方法进行酵母 文库筛选,方法参照 CLONTECH 公司的 Matchmaker Gold Yeast Two – Hybrid System User Manual。具体 如下,挑取新鲜培养的诱饵酵母菌落,在 50mL SD/ – Trp 培养基中过夜培养 $16\sim20h$,使 OD_{600} 达到 0.8,3~000r/min 离心 5min 后用 $4\sim5mL$ SD/ – Trp 重悬,与上述制备好的酵母双杂交 cDNA 文库混匀,在 45mL 2 × YPDA 培养基中培养 $20\sim24h$,在显微镜下观察成二倍体接合型后,3 000r/min 离心 3min,用 10mL 0.5 × YPDA 培养基重悬,把酵母菌液涂布在直径 150mm 的 SD/ – Trp – Leu/x – α – gal/AbA(DDO/x/A)平板上,30°C避光培养 $3\sim5d$,把平板上的蓝色菌落转移到 SD/ – Trp – Leu – Ade – His/x – α – gal/AbA(QDO/x/A)平板上 30°C 避光培养 $7\sim10d$ 。

1.6.2 文库阳性克隆的鉴定 上述平板倒置培养后,观察菌落在 QDO/X/A 平板的生长情况,挑取直径超过 2mm 的蓝色菌落,接种于 SD/-Leu/-Trp培养基中进行扩繁,以 pGADT7 载体通用引物 pGADT7-F和 pGADT7-R进行菌落 PCR 扩增,分析插入片段的大小并排除重复克隆。

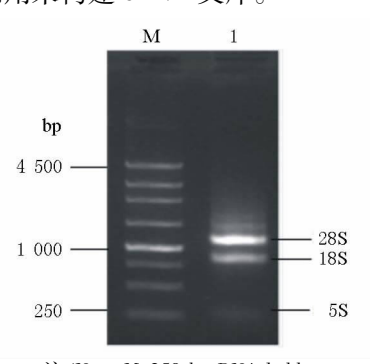
1.6.3 阳性克隆的测序和生物信息学分析 直接取上述筛选出的酵母单克隆在 SD/-Leu/-Trp 培养基中进行扩繁,然后取 0.5mL 培养液送公司测序。测得的序列在 NCBI 数据库进行 BLAST,找到同源序列,统计序列长度、基因登录号、读码框完整性、基因注释和读码框一致性等信息。

2 结果与分析

2.1 总 RNA 的提取

经测定,油菜花蕾总 RNA A260/A280 = 1.961,

 A_{260} / A_{230} = 2.53,浓度为 3.13μg/μL,表明该 RNA 纯度高,无蛋白质和其它杂质污染。RNA 琼脂糖凝胶电泳条带较清晰,无拖尾、扩散等降解现象(图 1),并且 28S 条带亮度是 18S 条带亮度的 2 倍以上,进一步证明抽提的 RNA 质量好,没有发生降解。综上所述,该 RNA 纯度和完整性高,完全满足建库的要求,可以用来构建 cDNA 文库。

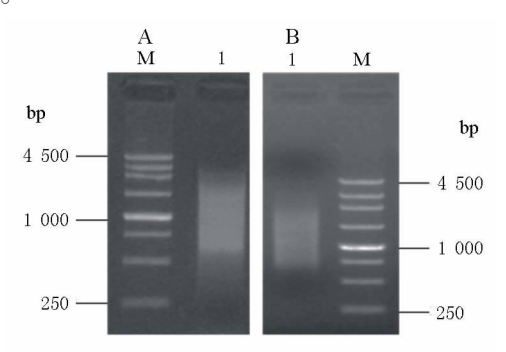


注/Note:M:250 bp DNA ladder; 1:总 RNA Total RNA

图 1 总 RNA 琼脂糖凝胶电泳图 Fig. 1 Agarose gel electrophoresis of total RNA

2.2 双链 cDNA 的合成

采用 SMART 方法合成单链 cDNA, 再通过 LD - PCR 扩增得到双链 cDNA, 双链 cDNA 片段集中在 250~4 000bp 之间, 呈弥散状(图 2A), 说明该材料幼蕾不同大小和丰度的 mRNA 都进行了有效反转录及扩增,可用于酵母双杂交 cDNA 文库的构建。如图 2B 所示, 当用 CHROMA SPIN - 400 层析柱对双链 cDNA 纯化后, 基本将 400bp 以下的片段去除掉。



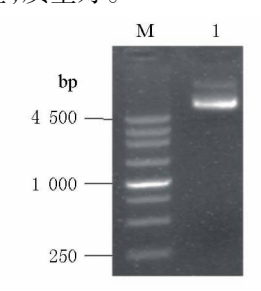
注/Note: M:250 bp DNA ladder; A:1:纯化前双链 cDNA ds cDNA before purification; B:1:纯化后双链 cDNA ds cDNA after purification

图 2 纯化前后双链 cDNA 琼脂糖凝胶电泳图 Fig. 2 Agarose gel electrophoresis of total ds cDNA before and after purification

2.3 大肠杆菌 cDNA 文库构建

通过酶切、连接的方法将纯化的双链 cDNA 连接到载体 pGADT7 上,电击转化到大肠杆菌 $DH5\alpha$

中,进一步培养得到初级 cDNA 文库,文库滴度为 2.3×10⁶ cfu。将文库扩增后,用 NucleoBond Xtra Maxi EF 试剂盒提取大肠杆菌 cDNA 文库质粒,如图 3 所示,凝胶电泳主带明亮,几乎没有杂带,说明该质粒比较完整,质量好。



注/Note: M:250 bp DNA ladder; 1: 质粒 Plasmid

图 3 初级 cDNA 文库扩增后质粒琼脂糖凝胶电泳图 Fig. 3 Agarose gel electrophoresis for plasmid of primary cDNA library after modification

2.4 Y187 酵母双杂交 cDNA 文库构建及质量鉴定

将上述大肠杆菌 cDNA 文库质粒转化到酵母Y187 菌株中,获得酵母双杂交所用的Y187 酵母双杂交 cDNA 文库,其文库滴度达到2×10⁷ cfu。如图4 所示,随机挑选的16 个酵母文库单克隆进行菌落PCR 扩增,通过琼脂糖凝胶电泳显示外源重组片段分布在750~3000bp之间,文库插入片段平均长度大于1.8kb,说明该文库具有很好的多态性,文库重组率为100%。结果表明Y187 酵母文库中 cDNA片段长度适合进行酵母双杂交筛选,文库质量较高。

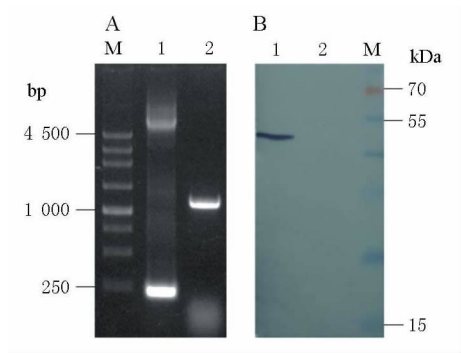


注/Note:M:250 bp DNA ladder; 1-16:菌落编号 Codes of clones

图 4 酵母双杂交 cDNA 文库 PCR 检测结果 Fig. 4 PCR detection of yeast cDNA library

2.5 诱饵载体构建及在酵母菌中的表达检测

诱饵基因通过 PCR 扩增,以 EcoRI 和 PstI 酶切位点连入 pGBKT7 载体中,通过菌落 PCR 扩增,证实 BnaA. tsMs 成功构建到载体中(图 5A)。目的基因 BnaA. tsMs 与载体中的 GAL4 - BD 蛋白区域构成融合蛋白 GAL4 - BD - BnaA. tsMs,约为 52. 8kD,通过 TCA 丙酮法提取融合蛋白,并通过 Western Blot检测到融合蛋白 GAL4 - BD - BnaA. tsMs 正确表达(图 5B)。



注:A 诱饵基因重组载体构建的菌落 PCR 电泳鉴定图: M:250 bp DNA Ladder; 1:阴性对照 pGBKT7; 2:pGBKT7 - BnaA. tsMs 诱饵重组载体; B:诱饵蛋白 western 表达检测: 1:融合蛋白 GAL4 - BD - BnaA. tsMs; 2:阴性对照; M: Thermo No. 26616

Note: A Electrophoresis of the target gene and confirmation of the bait by colony PCR: M:250 bp DNA Ladder;

1:Negative control pGBKT7; 2:Target gene and confirmation of bait pGBKT7 - BnaA. tsMs. B:Expression of GAL4 - BD - BnaA. tsMs fusion protein was analyzed by Western Blot:1:GAL4 - BD - BnaA. tsMs fusion protein; 2:Negative control; M: Thermo No. 26616

图 5 诱饵基因重组载体构建及诱饵蛋白表达检测 Fig. 5 Construction of bait gene recombinant vector and GAL4 – BD – BnaA. tsMs fusion protein expression

2.6 诱饵蛋白毒性检测及自激活检测

分别取含有 pGBKT7 - BnaA. tsMs 诱饵载体及

对照空质粒 pGBKT7 的 Y2H gold 转化菌培养,每5h 检测 OD₆₀₀ 吸光度值。pGBKT7 和 pGBKT7 - BnaA. tsMs诱饵载体转化 Y2H gold 的 OD₆₀₀几乎没有差异(图 6),说明该酵母双杂交诱饵载体 pG-BKT7 - BnaA. tsMs与对照空质粒转化菌生长情况相似,证明该诱饵载体对酵母菌没有毒性。此外,Y2H gold[pGBKT7 - BnaA. tsMs]在 SD/- Trp/x - α - gal 平板上有白色菌落生长;在 SD/- Trp/x - α - gal 不板上沒有菌落生长;阳性对照在 SD/- Trp - Leu - Ade - His/x - α - gal/AbA 平板有明显的蓝色克隆子出现,而阴性对照无克隆子出现(表 1)。这表明 pGBKT7 - BnaA. tsMs 在酵母细胞中没有激活报告基因 AUR1 - C 和 MEL1,无自身转录激活作用发生。

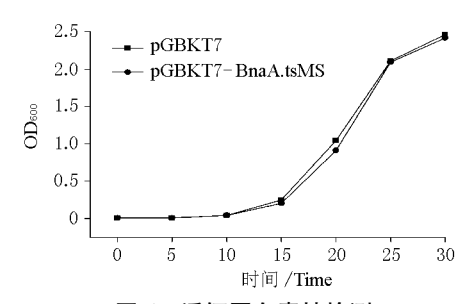


图 6 诱饵蛋白毒性检测 Fig. 6 Toxicological test of bait protein

表 1 重组质粒 pGBKT7 - BnaA. tsMs 自激活作用检测 Table 1 Test of pGBKT7 - BnaA. tsMs bait for auto activation

样品	SDO	SDO/X	SDO/X/A	QDO/X/A
Sample	SDl/ – Trp	$SDl/ - Trp/X - \alpha - Gal$	$SD/ - Trp/AbA/X - \alpha - Gal$	SD/ – Trp/ – Leu/ – Ade/ – His/AbA/X – α – Gal
pGBKT7 - BnaA. tsMs	+	+ 白色 White	_	-
阳性对照 Positive control	/	/	/	+ 蓝色 Blue
阴性对照 Negative control	/	/	-	

注/Note: +:生长 Growth; -: 不生长 No growth; /: 未转平板 Non - existnce

2.7 酵母文库筛选

通过 Mating 方法,以 BnaA. tsMs 为诱饵,对甘 蓝型油菜温敏细胞核雄性不育系 TE5A 的幼蕾酵母 双杂交 cDNA 文库进行筛选,统计 SD/ - Ade/ -His/-Leu/-Trp/X-α-Gal 平板上共有 143 个蓝 色阳性菌落,挑取阳性菌落在SD/-Trp-Leu培养 基培养后进行菌落 PCR,显示 cDNA 插入片段大小 在 400~1 000bp。在测序过程中,由于部分阳性克 隆存在高级结构,导致测序没有成功,同时排除重复 克隆序列,最后获得49个基因序列。其中存在15 个未知功能的蛋白,剩余34个基因通过Gene Ontology 进行基因分子功能分类,共分为9类(图7):核 糖体结构蛋白、DNA结合蛋白、锌离子结合蛋白、蛋 白绑定因子、转移酶活性、ATP 结合蛋白、GTP 结合 蛋白、特异性 DNA 结合蛋白及核酸结合蛋白。鉴于 该细胞核雄性不育材料的不育性与减数分裂异常有 关,根据候选互作蛋白的功能注释,其中有丝分裂纺 锤体检测点蛋白(BUBR1)、周期蛋白 D3(cyclin - D3)及F-box 蛋白(FBW2)与减数分裂相关(表2)。这3个蛋白 BUBR1、cyclin - D3、FBW2 可能与BnaA. tsMs 相互作用,导致减数分裂异常,影响小孢子发育进程,从而调控温敏细胞核雄性不育系TE5A的育性。

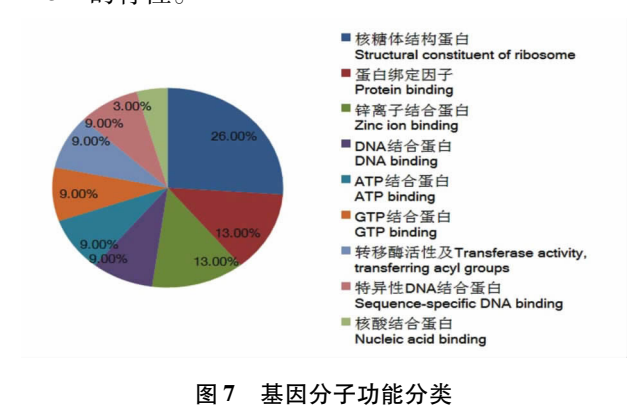


Fig. 7 Classification of the function of screened genes

Table 2 Information of 3 important genes interaction with BnaA. tsMs screening by yeast two – hybrid system								
基因	大小	ORF 完整性	GenBank 登录号	注释	读码框一致性			
Gene	Size/bp	ORF integrity	Accession	Annotation	ORF coherence			
BUBR1	1 344	完整 Integrity	XM_013882409	mitotic spindle checkpoint protein	一致 Coincident			
FBW2	956	完整 Integrity	XM_013775182	F – box protein	一致 Coincident			
yclin – D3	1 058	完整 Integrity	XM_013781160	cyclin – D3 – 3 – like	一致 Coincident			

表 2 BnaA. tsMs 为诱饵筛选到的重要互作基因信息

3 讨论

cyclin - D3

高质量的 cDNA 文库是通过酵母双杂交进行大 规模蛋白筛选的前提[25], RNA 样品的质量直接影 响 cDNA 文库的质量及库容量。本研究采用 Qiagen 方法提取的总 RNA 完全满足构建高质量 cDNA 文 库的先决条件。采用CLONTECH公司推出的 SMART 方法合成的双链 cDNA, 其两端分别带有 SfiI A 和 SfiI B 酶切位点,我们将该载体 pGADT7 原 来的 ShI 酶切位点改造为 ShI A 和 ShI B 两个酶切 位点,从而保证 cDNA 片段可以定向插入到载体中, 避免了其他方法构建文库时 cDNA 片段插入方向不 确定的情况。

文库的库容量和文库重组率是评价 cDNA 文库 质量的两个主要指标。经测定,本研究构建的酵母 双杂交 cDNA 文库库容量为 2×10^7 cfu, 重组外源片 段在750~3000bp之间,文库插入片段平均长度大 于1.8kb, 重组率达到100%, 远远大于构建 cDNA 文库的基本要求(库容量大于1×10⁶cfu,插入cDNA 片段≥300bp,平均>1000bp)。因此,本研究所构 建的酵母双杂交 cDNA 文库库容量、重组率及文库 插入片段平均长度均达到较高的水平,完全满足高 质量 cDNA 文库的标准,可以用来进行下一步的酵 母双杂交筛选。本研究通过将诱饵载体 pGBKT7 -BnaA. tsMs 转化到 CLONTECH 公司最新推出的黄 金酵母 Y2H gold 菌株中,增加了 AbA 筛选压力,大 大降低了文库筛选的假阳性率[26]。

利用酵母双杂交技术,以 BnaA. tsMs 为诱饵对 cDNA 文库进行大规模筛选,共获得34个有功能注 释的基因。该不育材料的败育与减数分裂异常有 关,在筛选到的候选互作蛋白中,有3个互作蛋白与 减数分裂相关,包括有丝分裂纺锤体检测点蛋白 BUBR1,周期蛋白 D3(cyclin - D3)和F-box 蛋白 (FBW2),我们接下来将对筛选到互作蛋白通过 BiFC^[27]、GST - pull down^[28]或免疫共沉淀实验进行 验证^[29]。BubR1 在哺乳动物卵母细胞减数分裂中 具有重要作用,该基因调控第一次减数分裂过程中 染色体的正常分离^[30]。BubR1 在植物中也同样发 挥重要作用,Wang等研究发现在水稻(Oryza sativa)

中 BubR1 发生突变,导致减数分裂过程中姐妹染色 单体提前分离,从而导致水稻不育[31]。Collins 等通 过功能缺失研究表明拟南芥周期蛋白 cyclin D3 参 与形成层细胞增殖和次生生长调控过程,并影响微 管的发育[32],在配子生成过程中,cyclin D3 参与生 殖细胞的有丝分裂、减数分裂及细胞分化等过 程^[33]。F-box 蛋白是 E3 泛素连接酶组成部分^[34], 在植物中广泛参与多个过程,包括生长素反应过 程[35]、育性调控及致病原的抗性反应[36]、花分生组 织的发育及花模式的构建过程^[37]。Lai 等研究发现 在金鱼草中编码 F-box 蛋白的基因 AhSLFS2 在绒 毡层、小孢子和花粉粒中特异表达[38]。 Jain 等通过 芯片分析发现:与正常可育材料相比,在水稻 udt1 -1 不育突变体中,有8个F-box蛋白家族成员的表 达显著下调^[39]。因此,我们筛选出的这些互作蛋 白,将有助于解析该不育材料的不育机理。

参考文献:

- Fu D H, Xiao M L, Hayward A, et al. Utilization of crop heterosis; a review [J]. Euphytica, 2014, 197; 161 – 173.
- 易 斌,涂金星,傅廷栋. 甘蓝型油菜隐性细胞核雄性 [2] 不育的研究及利用[J]. 中国科学,2014,44(8):752 -757.
- Zeng X H, Li W P, Wu Y H, et al. Fine mapping of a dominant thermo - sensitive genic male sterility gene (BntsMs) in rapeseed (Brassica napus) with AFLP - and Brassica rapa - derived PCR markers [J]. Theor Appl Genet, 2014, 127:1733 - 1740.
- $\lceil 4 \rceil$ 李树林,周志疆,周熙荣.甘蓝型油菜隐性核不育系 S45AB 的遗传[J]. 上海农业学报,1993,9(4):1-7.
- [5] 陈凤祥,胡宝成,李强生,等. 甘蓝型油菜细胞核雄性 不育材料 9012A 的发现与初步研究[J]. 北京农业大 学学报,1993,19:57-61.
- [6] 杨光圣,瞿 波,傅廷栋.甘蓝型油菜显性细胞核雄性 不育系宜 3A 花药发育的解剖学研究[J]. 华中农业大 学学报,1999,18(5):405-410.
- 李石开, 苏振喜, 吴学英. 油菜 K121S 温敏核不育的遗 传初探[J]. 西南农业学报,2004,17:49-54.
- [8] 于澄宇,李 玮,常建军,等.油菜温敏雄性不育系 373S的选育[J]. 中国农学通报,2007,23(7):245 -248.

- [9] 徐献锋,胡玉梅,于澄宇,等. 甘蓝型油菜反型温敏核 不育 Huiyou50S 的生理特征及遗传分析[J]. 华北农学 报,2014,29(3):147-152.
- [10] Yi B, Chen Y N, Lei S L, et al. Fine mapping of the recessive genic male sterile gene (Bnms1) in Brassica napus L. [J]. Theor Appl Genet, 2006, 4:643 650.
- [11] Yi B, Zeng F Q, Lei S L, et al. Two duplicate CYP704B1 homologous genes BnMs1 and BnMs2 are required for pollen exine formation and tapetal development in Brassica napus [J]. The Plant Journal, 2010, 6: 925 938.
- [12] Lei S, Yao X, Yi B, et al. Towards map based cloning: fine mapping of a recessive genic male sterile gene (BnMs2) in Brassica napus L. and syntenic region identification based on the Arabidopsis thaliana genome sequences [J]. Theor Appl Genet, 2007, 115:643 651.
- [13] Ke L P, Sun Y Q, Hong D F, et al. Identification of AFLP markers linked to one recessive genic male sterility gene in oilseed rape, *Brassica napus*[J]. Plant Breeding, 2005, 124(4):367-370.
- [14] Huang Z, Chen Y F, Yi B, et al. Fine mapping of the recessive genic male sterility gene (Bnms3) in Brassica napus L[J]. Theoretical and Applied Genetics, 2007, 115(1):113-118.
- [15] He J P, Ke L P, Hong D F, et al. Fine mapping of a recessive genic male sterility gene (BnMs3) in rapeseed (Brassica napus) with AFLP - and Arabidopsis - derived PCR markers [J]. Theor Appl Genet, 2008, 117 (1):11-18.
- [16] Dun X L, Zhou Z F, Xia S Q, et al. *BnaC. Tic40*, A plastid inner membrane translocon originating from *Brassica oleracea*, is essential for tapetal function and microspore development in *Brassica napus*[J]. The Plant Journal, 2011, 68(3):532-545.
- [17] Dun X L, Shen W, Hu K, et al. Neofunctionalization of duplicated *Tic*40 genes caused a gain – of – function variation related to male fertility in *Brassica oleracea linea*ges [J]. Plant physiology, 2014, 166(3):1403 –1419.
- [18] Zhou Z F, Dun X L, Tu J X, et al. *BnMs*3 is required for tapetal differentiation and degradation, microspore separation, and pollen wall biosynthesis in *Brassica napus* [J]. Journal of Experimental Botany, 2012, 63: 2 041 2 058.
- [19] Rajagopala S V, Uetz P. Analysis of protein protein interactions using high throughput yeast two hybrid screens [J]. Methods Mol Biol, 2011, 781:1 29.
- [20] Mehla J, Caufield J H, Uetz P. The yeast two hybrid system: A tool for mapping protein – protein interactions [J]. Cold Spring Harb Protoc, 2015(5):263 – 268.

- [21] Fujii S, Kazama T, Ito Y, et al. A candidate factor that interacts with RF2, a restorer of fertility of Lead rice – type cytoplasmic male sterility in rice [J]. Rice, 2014, 1(7):1-4.
- [22] Rönnberg T, Jääskeläinen K, Blot G, et al. Searching for cellular partners of hantaviral nonstructural protein NSs: Y2H screening of mouse cDNA library and analysis of cellular interactome [J]. PloS one, 2012, 7 (4): e34307.
- [23] Singh R, Lee J E, Dangol S, et al. Protein interactome analysis of 12 mitogen – activated protein kinase kinase kinase in rice using a yeast two – hybrid system[J]. Proteomics, 2014, 14:105 – 115.
- [24] 鹿连明,秦梅玲,牛晓庆,等.两个水稻品种(系)酵母 双杂交 cDNA 文库的构建和比较分析[J]. 激光生物 学报,2008,17(5):656-662.
- [25] Cao S H, Yan L L. Construction of a high quality yeast two hybrid (Y2H) library and its application in identification of interacting proteins with key vernalization regulator TaVRN A1 in wheat [J]. BioMed Central, 2013, 81;6.
- [26] Wang X, Li C, Zhou L, et al. Porcine reproductive and respiratory syndrome virus counteracts the porcine the porcine intrinsic virus restriction factors IFITM1 and Tetherin in MARC 145 cells [J]. Virus Research, 2014,191;92 100.
- [27] Gookin T E, Assmann S M. Significant reduction of BiFC non – specific assembly facilitates in planta assessment of heterotrimeric G – protein interactors [J]. The Plant Journal, 2014, 80:553 – 567.
- [28] Lyzenga W J, Hong X L, Schofield A. Arabidopsis CIPK26 interacts with KEG, components of the ABA signalling network and is degraded by the ubiquitin proteasome system[J]. Journal of Experimental Botany, 2013,64(10):2779-2791.
- [29] Kim H J, Kieber J J, Schaller G E. The rice F box protein KISS ME DEADLY2 functions as a negative regulator of cytokinin signalling [J]. Plant Signaling & Behavior, 2013, 8(12); e26434.
- [30] Touati S A, Buffin E, Hached K, et al. Mouse oocytes depend on BubR1 for proper chromosome segregation but not for prophase I arrest [J]. Nature Communications, 2015,6:6 946.
- [31] Wang M, Tang D, Luo Q, et al. BRK1, a bub1 related kinase, is essential for generating proper tension between homologous kinetochores at metaphase I of rice meiosis[J]. The Plant Cell, 2012, 24; 4961-4973.
- [32] Collins C, Maruthi M N, Jahn C E. CYCD3 D type cyclins regulate cambial cell proliferation and secondary

- growth in *Arabidopsis* [J]. Journal of Experimental Botany, 2015, 10:1093.
- [33] Zhang Q, Wang X Y, Wolgemuth D J. Developmentally regulated expression of cyclin D3 and its potential *in vivo* interacting proteins during murine gametogenesis [J]. Endocrine Society, 1999, 140:2790-2800.
- [34] Elledge S J, Harper J W. Proteolysis in cell cycle control and cancer [J]. Biochim Biophys Acta, 1998, 1 377: 61-70.
- [35] Ruegger M, Dewey E, Gray W M, et al. The TIR1 protein of *Arabidopsis* functions in auxin response and is related to human SKP2 and yeast GRR1 [J]. Genes Dev, 1998,12:198-207.
- [36] Xie D X, Feys B F, James S, et al. *COI*1: an *Arabidopsis* gene required for jasmonate regulated defense and fertility [J]. Science, 1999, 280:1 091 1 094.

- [37] Samach A, Klenz J E, Klhalmi S E, et al. The unusual floral organs gene of *Arabidopsis thaliana* is an F box protein required for normal patterning and growth in the floral meristem [J]. The Plant Journal, 1999, 20:433 445.
- [38] Lai Z, Ma W, Han B. An F box gene linked to the self incompatibility (S) locus of *Antirrhinum* is expressed specifically in pollen and tapetum[J]. Plant Molecular Biology, 2002, 50:29 42.
- [39] Jain M, Nijhawan A, Arora R, et al. F box proteins in rice Genome - wide analysis, classification, temporal and spatial gene expression during panicle and seed development, and regulation by light and abiotic stress [J]. Plant Physiolo, 2007, 143:1 467 - 1 483.

(责任编辑:郭学兰)